

УДК 541.12.034 : 535

**ОПРЕДЕЛЕНИЕ ДАВЛЕНИЯ АТОМНЫХ ПАРОВ  
МЕТОДОМ ОПТИЧЕСКОГО ПОГЛОЩЕНИЯ  
ПО ДВУМ РЕЗОНАНСНЫМ ЛИНИЯМ  
ИССЛЕДУЕМОГО ЭЛЕМЕНТА**

Е. Ю. Яблочков и В. Г. Мурадов

Описан вариант метода оптического поглощения, позволяющий определять давление атомного пара при отсутствии в литературе данных по уширяющим сечениям резонансных столкновений. Методика основана на измерениях, проводимых в одном и том же интервале температур методами линейчатого и полного поглощения по двум резонансным линиям исследуемого элемента, силы осцилляторов которых существенно различаются по величине.

В работах [1, 2] показано, что метод полного поглощения может использоваться для определения давления пара металлов, если известно значение сечения уширяющих резонансных столкновений  $\sigma$ . К сожалению, в литературе отсутствуют достаточно полные данные по величинам  $\sigma$  для многих элементов.

В данной работе показывается, что при наличии у элементов двух резонансных линий, силы осцилляторов  $f$  которых существенно отличаются по величине, метод полного поглощения можно использовать для определения давления атомного пара при отсутствии данных по  $\sigma$ . Предлагаемая методика значительно проще, чем описанная в работе [3]. Она не требует применения постороннего газа, как это делается в работах [4, 5] при определении давления атомного пара и сечений уширяющих столкновений комбинированным методом линейчатого и полного поглощения.

Выделим область температур, в пределах которой можно провести измерения для определения коэффициента поглощения  $(k_0)_1$  в центре допплеровской линии  $\lambda_1$  методом линейчатого поглощения. При этом используется резонансная линия с малой величиной  $f_1$ . Тогда для второй линии  $\lambda$  с большей силой осцилляторов  $f$  значения  $k_0$  в той же области температур можно рассчитать по формуле

$$k_0 = (k_0)_1 \frac{f_1}{f_1 \lambda_1}. \quad (1)$$

Далее, измерив для линии  $\lambda$  в выбранной области температур величины поглощения  $A_{\lambda}$ , можно определить по найденным  $k_0$  неизвестное значение  $\sigma$  методом подбора, добившись совпадения рассчитанной методике [1] величины  $A_{\lambda}$  с экспериментально найденным значением. Полная схема расчета давления пара подробно описана в работе [1].

Предлагаемый вариант метода оптического поглощения использован для определения давления атомного пара цинка и кадмия по линиям, для которых неизвестны значения  $\sigma$ . Измерения проводились в области поглощений, где основная роль принадлежит дисперсионным крыльям линий. Исследуемый образец помещался в откаченную до высокого вакуума кварцевую кювету. На экспериментальной установке, описанной в работе [1], измерены величины  $A_{\lambda}$  для ZnI 213.9 нм в области температур 337—480° С и для CdI 228.8 нм в интервале 170—350° С.

Таблица 1  
К расчету сечения резонансных столкновений

$\lambda$ , нм	A	B	T, К	$\lg \frac{A_y}{\Delta y_D}$	$k_0 l \cdot 10^{-4}$	$l$ , см	$C_1 \cdot l \cdot 10^8$	$C_2$	$\sigma \cdot 10^{12}$ , см <sup>2</sup> , надежность 0.95	
213.9	17.36	6140	693	2.153	17.36	10.05	4.422	0.6213	$1.6 \pm 0.5$	
			693	2.113	17.36		3.015			
			713	2.325	29.47	9.8	4.321	0.7616		
			713	2.286	29.47		3.216			
228.8	18.52	5940	603	2.370	30.84	9.8	5.488	$3.2 \pm 1.3$		
			603	2.341	30.84	9.8	3.920			
			603	2.002	5.822	1.85	5.550			
			603	2.061	5.822	1.85	7.400			

Измерения методом линейчатого поглощения по линиям ZnI 307.6 нм и CdI 326.1 нм выполнены авторами работ [6, 7], которые использовали высокочастотные спектральные шариковые лампы типа ВСБ-2 и при расчете величины ( $k_0$ )<sub>1</sub> учитывали сверхтонкую структуру линий. Так как измеренные величины оптической плотности пара не превышали единицы,

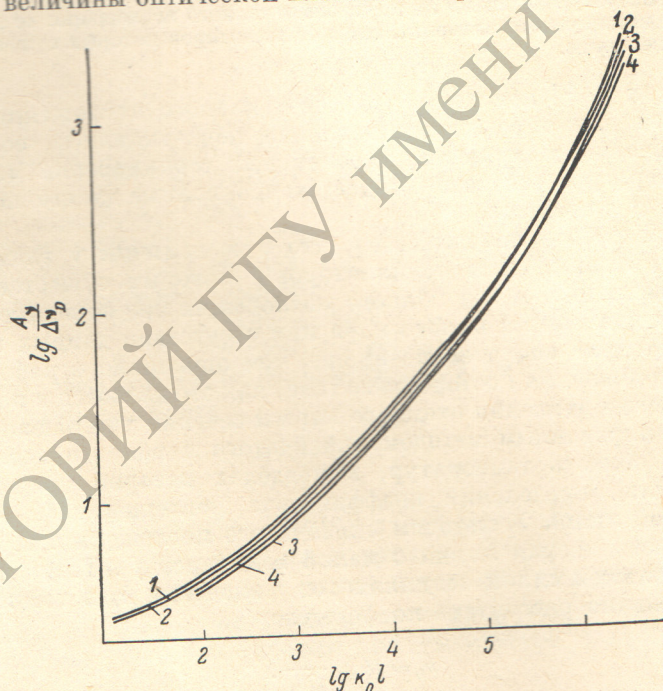


Рис. 1. Используемые кривые роста.

1, 2 — Cd I 228.8 нм для  $l=9.8$  см,  $T_1=650$  К,  $T_2=450$  К соответственно; 3, 4 — Zn I 213.9 нм для  $T_3=800$  К,  $T_4=600$  К соответственно.

контуры линий излучения и поглощения в работах [6, 7] принимался допплеровским.

Значения ( $k_0$ )<sub>1</sub> для линий ZnI 307.6 нм и CdI 326.1 нм, заимствованные из работ [6, 7], использовали для нахождения величин  $k_0$  по формуле (1). Далее методом наименьших квадратов рассчитывали уравнение

$$\lg (k_0 T^{3/2}) = A - BT^{-1} \quad (2)$$

для ZnI 213.9 нм и CdI 228.8 нм в области температур 298—444 и 150—258° С соответственно.

Таблица 1  
К расчету сечения резонансных столкновений

$\lambda$ , нм	A	B	T, К	$\lg \frac{A_y}{\Delta v_D}$	$k_0 l \cdot 10^{-4}$	$l$ , см	$C_1 \cdot l \cdot 10^8$	$C_2$	$\sigma \cdot 10^{12}$ , см <sup>2</sup> , надежность 0.95
213.9	17.36	6140	693	2.153	17.36		4.422		
			693	2.113	17.36	10.05	3.015	0.6213	$1.6 \pm 0.5$
			713	2.325	29.47		4.321		
			713	2.286	29.47		3.216		
			603	2.370	30.84	9.8	5.488		
			603	2.341	30.84	9.8	3.920	0.7616	$3.2 \pm 1.3$
228.8	18.52	5940	603	2.002	5.822	1.85	5.550		
			603	2.061	5.822	1.85	7.400		

Измерения методом линейчатого поглощения по линиям ZnI 307.6 нм и CdI 326.1 нм выполнены авторами работ [6, 7], которые использовали высокочастотные спектральные шариковые лампы типа ВСБ-2 и при расчете величины ( $k_0$ )<sub>1</sub> учитывали сверхтонкую структуру линий. Так как измеренные величины оптической плотности пара не превышали единицы,

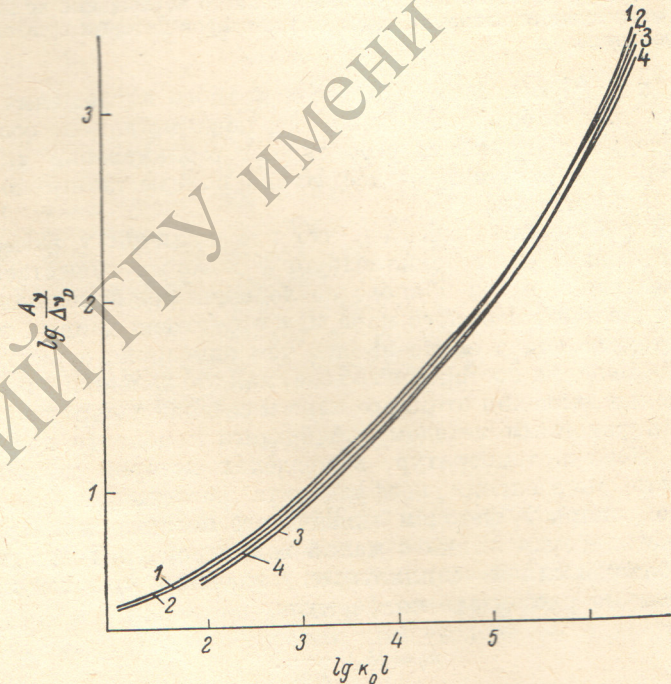


Рис. 1. Используемые кривые роста.

1, 2 — Cd I 228.8 нм для  $l=9.8$  см,  $T_1=650$  К,  $T_2=450$  К соответственно; 3, 4 — Zn I 213.9 нм для  $T_3=800$  К,  $T_4=600$  К соответственно.

контуры линий излучения и поглощения в работах [6, 7] принимался допплеровским.

Значения ( $k_0$ )<sub>1</sub> для линий ZnI 307.6 нм и CdI 326.1 нм, заимствованные из работ [6, 7], использовали для нахождения величин  $k_0$  по формуле (1). Далее методом наименьших квадратов рассчитывали уравнение

$$\lg (k_0 T^{3/2}) = A - BT^{-1} \quad (2)$$

для ZnI 213.9 нм и CdI 228.8 нм в области температур 298—444 и 150—258° С соответственно.

Таблица 2

Величины естественной ( $\Delta\nu_N$ ) и резонансной ( $\Delta\nu_L$ )  
ширины использованных линий Zn и Cd  
в исследованной области температур

$\lambda, \text{ нм}$	$\Delta\nu_N \cdot 10^{-7}, \text{ с}^{-1}$	$T, \text{ К}$	$\Delta\nu_L \cdot 10^{-7}, \text{ с}^{-1}$	$k_0 l \cdot 10^{-4}$
ZnI 213.9	9.27	610	1.29	0.955
		683	19.8	13.01
		753	124	74.13
CdI 228.8	8.10	443	0.00733	0.0277
		543	1.05	3.236
		623	19.6	52.48

Значения коэффициентов  $A$  и  $B$  приведены в табл. 1.

Здесь же представлены величины коэффициентов  $c_1$  и  $c_2$ , необходимые для расчета параметра Фойхта « $a$ » [1], оптическая длина кювет  $l$ , измерен-

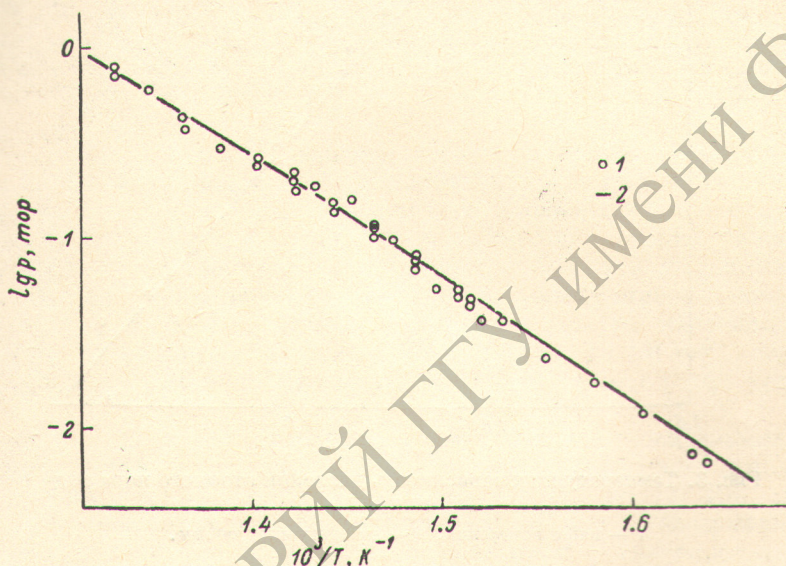


Рис. 2. Температурная зависимость давления атомного пара цинка.

1 — наши измерения, 2 — литературные данные.

ные значения  $A$ , в единицах дошперовской ширины линий  $\Delta\nu_b$ , величины  $k_0 l$ , определенные с помощью уравнения (2), и найденные из величин  $c_1$  значения  $\sigma$  [1]. Для линии CdI 228.8 нм из-за слабого влияния резонансного уширения по сравнению с естественным при температурах меньше 600 К уравнение (2) экстраполировали в область более высоких температур. Необходимые при расчетах значения  $f$  брались из работы [8].

Кривые роста, рассчитанные на основе найденных значений  $\sigma$  с учетом сверхтонкой структуры линий ZnI 213.9 нм [9] и CdI 228.8 нм, показаны на рис. 1. С помощью кривых по измеренным значениям  $A$ , и  $T$  определяли величины  $k_0 l$ , которые использовали для расчета давления атомного пара цинка  $p_{\text{Zn}}$  и кадмия  $p_{\text{Cd}}$ .

В табл. 2 приведены величины резонансного и естественного уширений ( $\Delta\nu_L$  и  $\Delta\nu_N$  соответственно) линий ZnI 213.9 нм и CdI 228.8 нм в изученной области температур. Из табл. 2 видно, что в условиях проведенного эксперимента естественное и резонансное уширения соизмеримы. Следовательно, в этих условиях не выполняются соотношения  $A \sim \sqrt{N}$  (справедливое при  $a = \text{const}$ ) и  $A \sim N$  (справедливое при  $\Delta\nu_L \gg \Delta\nu_N$ ). Здесь  $N$  — концентрация невозбужденных атомов в паре.

Результаты определения давления атомных паров цинка и кадмия приведены на рис. 2 и 3 соответственно. Здесь же приведены литературные данные [10] для  $p_{\text{Zn}}$  и  $p_{\text{Cd}}$ , которые удовлетворительно согласуются с найденными значениями и тем самым подтверждают корректность предлагаемой методики определения эффективных сечений уширяющих резонансных столкновений и давления пара.

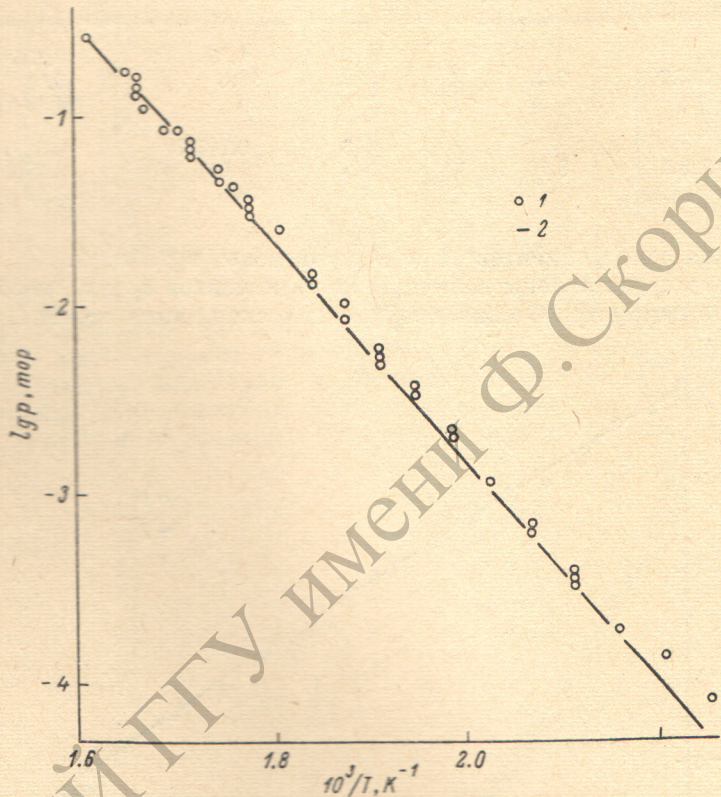


Рис. 3. Температурная зависимость давления атомного пара кадмия.  
1 — наши измерения, 2 — литературные данные.

#### Литература

- [1] Е. Ю. Яблочкин, В. Г. Мурадов. Опт. и спектр., 41, 367, 1976.
- [2] Е. Ю. Яблочкин, В. Г. Мурадов. В сб.: Вопросы оптоэлектроники и спектроскопии, вып. 3. Ульяновск, 1975.
- [3] R. A. Rice, D. V. Ragon. J. Chem. Phys., 42, 701, 1965.
- [4] Б. В. Львов. J. Q. S. R. T., 12, 651, 1972.
- [5] А. М. Немец, Г. И. Николаев. Ж. прикл. спектр., 18, 571, 1973.
- [6] О. Н. Мурадова, В. Г. Мурадов. Изв. вузов, физика, № 12, 44, 1971.
- [7] О. Н. Мурадова, В. Г. Мурадов, И. С. Фишман. Ж. прикл. спектр., 14, 364, 1971.
- [8] С. Э. Фриш. Оптические спектры атомов. ФМ, М.—Л., 1963.
- [9] О. Н. Мурадова. Автореф. канд. дисс., Ульяновск, 1970.
- [10] Аи. Н. Несмеянов. Давление пара химических элементов. Изд. АН ССР, М., 1961.

Поступило в Редакцию 11 ноября 1976 г.  
В окончательной редакции 28 июля 1977 г.